

بررسی ایمنوهِستوشیمیایی رنگ پذیری پروتئین S-100 در تومورهای غدد بزاقی: پلئومورفیک آدنوما، سرطان آدنوئید سیستیک و سرطان موکوپیدروئید

نوشین جلاير نادری* - منصور جمالی زواره ای** - عاطفه هاشمی***

* استادیار گروه آسیب شناسی فک و دهان دانشکده ی دندانپزشکی دانشگاه علوم پزشکی و خدمات بهداشتی درمانی شاهد

** استاد گروه آموزشی پاتولوژی دانشکده ی پزشکی دانشگاه علوم پزشکی و خدمات بهداشتی درمانی تهران

*** دندانپزشک

چکیده

بیان مساله: تومورهای غدد بزاقی بخشی مهم از آسیب های حفره ی دهان را به خود اختصاص می دهند. گرچه در نظریه های تشکیل تومورهای غدد بزاقی، شکل گیری این غدد از سلول های میو اپی تلیال و داکتال مطرح شده است، اما نقش این سلول ها در ایجاد تومورهای بزاقی در حال بررسی است.

هدف: با توجه به نقش پروتئین S-100 در نمایش سلول های میو اپی تلیال، تصمیم بر آن شد تا با مشخص کردن ایمونورکتیویته و الگوی رنگ پذیری این سلول در تومورهای پلئومورفیک آدنوما، سرطان موکوپیدروئید و آدنوئید سیستیک به بررسی این سلول ها در تومورهای یاد شده پرداخته شود.

مواد و روش: شمار پنج نمونه ی پلئومورفیک آدنوما، پنج نمونه ی سرطان آدنوئیدسیستیک و پنج نمونه ی سرطان موکوپیدروئید از میان نمونه هایی که نکرور نبوده، خونریزی نداشته و ثبوتی خوب داشتند، انتخاب و به روش ایمنوهِستوشیمیایی برای پروتئین S-100 رنگ شدند. نمونه ها از لحاظ الگو و شدت رنگ پذیری بررسی شده و شاخص رده بندی [Labeling index (LI)] نمونه های مثبت به دست آمد.

یافته ها: بررسی ایمنوهِستوشیمیایی نمونه های پلئومورفیک آدنوما بیانگر ایمونورکتیویته مثبت سلول های اپی تلیالی و پلاسما سیتوئید و به ویژه سلول های داکتال با شدت رنگ پذیری متوسط تا شدید بود. شاخص رده بندی تومور پلئومورفیک آدنوما ۰/۳۴ به دست آمد. در تومور سرطان آدنوئید سیستیک هیچگونه واکنش رنگ پذیری مثبت دیده نشد، به گونه ای که شاخص رده بندی به دست آمده صفر بود. یافته های ایمنوهِستوشیمیایی در تومور سرطان موکوپیدروئید نشان دهنده ی رنگ پذیری کمتر از پنج درصد سلول های اپی تلیالی بود، به گونه ای، که تنها شماری اندک از سلول های اپی تلیالی مثبت شده بودند. **نتیجه گیری:** نتایج بررسی کنونی نشان دهنده ی بروز پروتئین S-100 در پلئومورفیک آدنوما بود. بروز این شاخص در سرطان آدنوئید سیستیک و سرطان موکوپیدروئید منفی بود. برپایه ی یافته های این بررسی، بودن سلول های میو اپی تلیال در سرطان آدنوئید سیستیک و سرطان موکوپیدروئید به بررسی بیشتر نیاز دارد.

واژگان کلیدی: ایمنوهِستوشیمیایی، S-100، پلئومورفیک آدنوما، سرطان آدنوئید سیستیک و سرطان موکوپیدروئید

تاریخ پذیرش مقاله: ۸۵/۱۲/۱۴

تاریخ دریافت مقاله: ۸۵/۹/۲۳

مجله دندانپزشکی دانشگاه علوم پزشکی شیراز. سال هفتم؛ شماره ۳ و ۴، ۱۳۸۵ صفحه ی ۲۲ تا ۳۲

* نویسنده مسوول مکاتبات: نوشین جلاير نادری. تهران- خیابان ایالتیا- بین وصال و قدس- شماره ۷۱ - دانشکده ی دندانپزشکی دانشگاه علوم پزشکی شاهد- گروه آموزشی آسیب شناسی فک و دهان - تلفن: ۰۲۱-۸۸۹۵۹۲۱۰ پست الکترونیک: noushin_jly85@yahoo.com

مقدمه

سه جفت غده‌ی بزاقی اصلی و صدها غده‌ی بزاقی فرعی پراکنده در ناحیه‌ی زیرمخاط حفره‌ی دهان و ناحیه‌ی دهانی-حلقی می‌توانند متحمل ابتلا به تومورهای خوش خیم و بدخیم بزاقی شوند. بخشی بزرگ از نئوپلاسم‌های بزاقی دارای سرچشمه‌ی اپی‌تلیالی هستند. یافته‌های موجود نشان دهنده‌ی آن است، که تومورهای غدد بزاقی از سلول‌های میوایی تلیال و داکتال سرچشمه‌ی می‌گیرند^(۱ و ۲). سلول‌های میوایی تلیال در پیوند با توده‌ی ترش‌خی‌آخری و مجاری رابط بوده و فضای میان غشای پایه و غشای پلاسمایی سلول‌های اپی‌تلیالی ترش‌خی را پر می‌کنند. در میان سلول‌های میوایی تلیال و سلول‌های ترش‌خی زیرین اتصالات دسموزومی وجود دارد، که برای پایدار ساختن ساختار و جلوگیری از لغزش زایده‌ها بر روی سلول‌های آسینی یا مجرای‌ی به هنگام انقباض است. اشکال فوق میکروسکوپی سلول میوایی تلیال به سلول ماهیچه‌ای صاف همانندی بسیار دارد. این سلول‌ها احتمالاً وظایفی گوناگون را دارا هستند، که همه‌ی آنها به توانایی آنها برای انقباض وابسته است^(۳). نقش سلول‌های میوایی تلیال در بروز پلئومرفیک آدنوما و ساختار بافتی این تومور به اثبات رسیده است^(۱-۲-۴). گرچه نیکای (Nikai) و همکاران احتمال تمایز سلول‌های میو-اپی تلیال در سرطان موکوپیدرموئید را مطرح کرده‌اند^(۵)، اما استفاده از نشانه‌های ایمنوهیستوشیمیایی تباین اجزای این تومور را آشکار ساخته‌اند، به گونه‌ای، که انواع سیتوکراتین^۱ها در این تومور مثبت شده، اما بروز ویمنتین^۲، کارسینوما بریونیک آنتی ژن^۳ و میوزین متغیر بوده است^(۴). گرچه نقش سلول‌های میوایی تلیال و داکتال در ایجاد سرطان آدنوئید سیستیک

عنوان شده است، اما برخی گزارش‌ها موید این یافته نیستند^(۶-۷-۸). در این میان، اطلاعات موجود درباره‌ی سرطان موکوپیدرموئید متناقض‌تر و کمتر است^(۲-۸-۹). با توجه به یافته‌های متناقض درباره‌ی الگوی ایمنوراکتویته سلول‌های میوایی تلیال در تومورهای غدد بزاقی، تصمیم بر آن شد تا در یک تجربه‌ی پژوهشی پایه به بررسی این الگو در شایع‌ترین تومورهای بزاقی خوش خیم و بدخیم پرداخته شود. در این انتخاب موارد زیر لحاظ شدند:

۱. نقش اثبات شده‌ی سلول‌های میوایی تلیال در بروز پلئومرفیک آدنوما
۲. وجود اطلاعات متناقض و اثبات نشده‌ی حضور سلول‌های میوایی تلیال در بروز سرطان موکوپیدرموئید.

مواد و روش

این بررسی در دو مرحله انجام گرفت. در مرحله‌ی نخست با مراجعه به بایگانی بخش آسیب شناسی مرکزی بیمارستان امام خمینی (ره)، نمونه‌های پلئومرفیک آدنوما، سرطان آدنوئید سیستیک و سرطان موکوپیدرموئید از بایگانی جدا شده و نمونه‌های هماتوکسیلین-ائوزین آن دوباره بازبینی شد. از میان نمونه‌های موجود، پنج نمونه از هر یک از تومورهای بالا برگزیده شدند. معیارهای انتخاب نمونه‌ها شامل: نبود نواحی خونریزی و نکروز و فیکساسیون مناسب و حجم نمونه‌ی پذیرفتنی برای رنگ‌آمیزی ایمنوهیستوشیمیایی بود. پس از فراهم کردن برش‌های سه میکرونی از بلوک‌های پارافینه، مراحل رنگ‌آمیزی ایمنوهیستوشیمیایی نمونه‌ها بر اساس دستورالعمل کارخانه‌ی سازنده (Dako, Denmark) مراحل دپارافینه کردن، رطوبت‌دهی، آنکوباسیون با محلول بلوکه‌کننده‌ی سرم، آنکوباسیون با پادتن Rabbit Anti-S100 (Ab-2) با رقت ۱/۸۰۰، محلول بلوکه‌کننده‌ی پر اکسیداز،

¹ Cytokeratin

² vimentin

³ Carcinoembryonic antigen

استطاله های منشعب از آن، به همراه بافت چربی، عروق خونی و مقاطع عصبی مشاهده می شد. در بررسی ایمونوهیستوشیمیایی همین نمونه، بافت چربی، سلولهای آندوتلیال عروق خونی و مقاطع عصبی ایمونورآکتیوتیه مثبت داشتند. هیچ یک از سلول های سرروزی و مخاطی رنگ پذیری مثبت نشان نمی دادند. تنها در بخش های مرزی غشای پلاسمایی و غشای پایه به طور پراکنده رنگ پذیری مثبت در مجاری رابط مشاهده می شد. با وجود این رنگ پذیری، سلول های مجاری مخطط و رابط ایمونورآکتیوتیه منفی داشتند (نگاره ۱).

۲. پلئومورفیک آدنوما: بررسی نمونه ی رنگ شده با همتوکسیلین وائوزین نشان دهنده ی تکثیر سلول های اپی تلیالی در اشکال دوکی، گرد، چند وجهی و پلاسماسایتوئید بود، که الگوی داکتال، توپر و رشته ای به خود گرفته بودند. حد فاصل این سلول ها، استرومای میکسوئید، کندروئید و هیالینیزه مشاهده می شد. بررسی ایمونوهیستوشیمیایی نمونه ها بیانگر یافته های زیر بود: بیشتر سلول های اپی تلیالی و سلول هایی، که نمای پلاسماسایتوئید داشتند و در برخی موارد، سلول های داکتال ایمونورآکتیوتیه مثبت داشتند و سیتوپلاسم آنها رنگ گرفته بود. افزون بر آن، سلول هایی، که در استرومای میکسوئید و کندروئید بودند، آشکارا و به خوبی ایمونورآکتیوتیه مثبت داشتند. شدت این رنگ پذیری از متوسط تا شدید متغیر بود. شاخص رده بندی به دست آمده، ۳۴/۰ بود (نگاره ۲).

انکوباسیون در biotinylated Goat Anti-rabbit IgG، استرپتواویدین، پراکسیداز و همتوکسیلین را طی کردند. نمونه ها، سپس به دنبال رطوبت گیری، مانع شدند. در میان مراحل بالا، محلول های پیشین با بافر به مدت دو دقیقه شست و شو شدند. در مرحله ی دیگر، نمونه ها از لحاظ الگو و شدت رنگ پذیری بخش های گوناگون تومور با استفاده از میکروسکوپ Olympus (Models: CHS/CHT) ساخت ژاپن با بزرگنمایی ۱۰، ۲۰ و ۴۰ بررسی گردیدند. شدت رنگ پذیری سلول ها بر پایه ی درجات کم، متوسط و شدید لحاظ شدند. برای هر نمونه، شاخص رده بندی (Labeling Index) آن به روش زیر تعیین گردید:

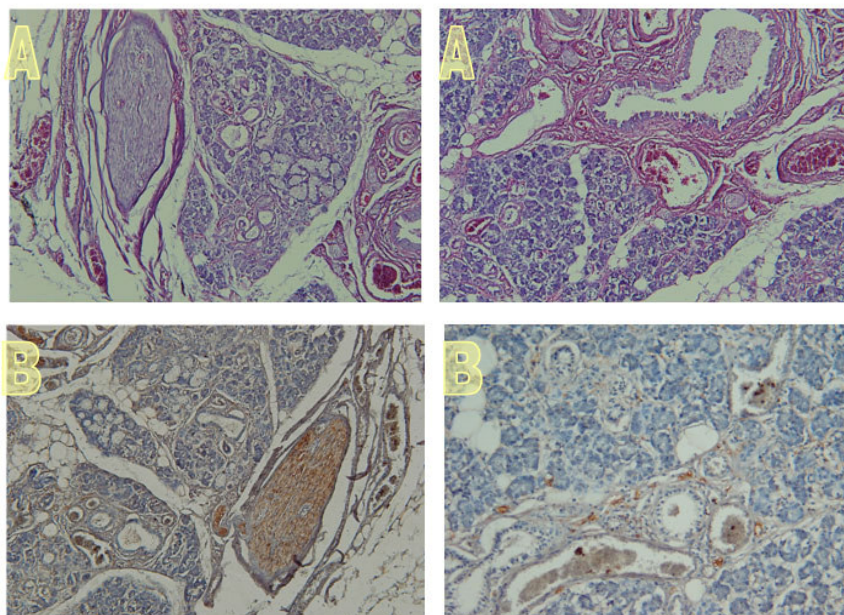
$$\text{شاخص رده بندی} = \frac{\text{شمار سلول های اپی تلیالی رنگ شده}}{1000 \text{ سلول اپی تلیالی}}$$

در پایان میانگین کلی شاخص رده بندی هر آسیب به دست آمد.

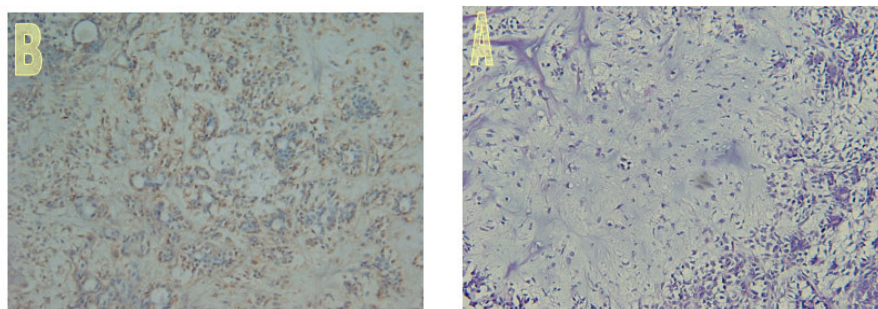
یافته ها

یافته های بررسی بر پایه ی نمونه های بررسی شده به تفکیک گونه ی تومور، شامل موارد زیر بود:

۱. غده ی بزاقی زیر فکی طبیعی: در بررسی نمونه های رنگ شده با همتوکسیلین و ائوزین، مقطع کاملی از یک غده ی بزاقی زیر فکی متشکل از آسینی های سرروزی، آسینی های مخاطی و هلال ژیانوزی به همراه مجاری رابط، مخطط و مجرای خارج کننده مشخص بود. افزون بر آن، کپسول غده ی بزاقی و



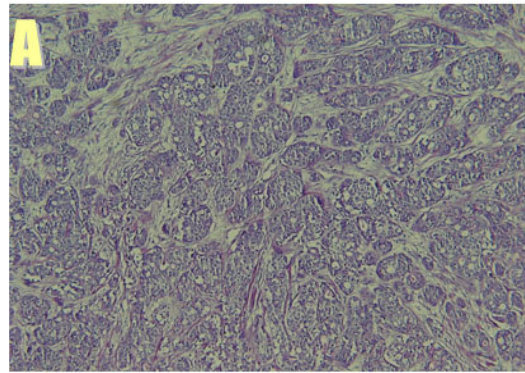
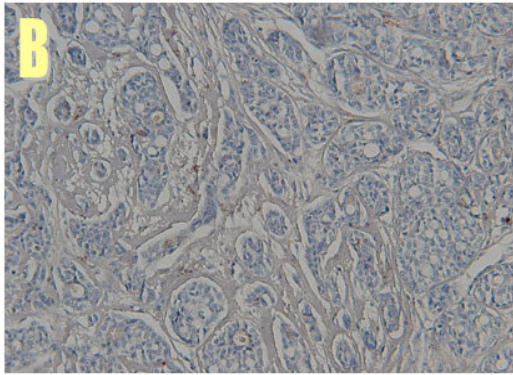
نگاره ی ۱) A: الگوی بافت شناختی غده ی بزاقی طبیعی در رنگ آمیزی با هماتوکسیلین- ائوزین (بزرگنمایی ۱۰)
B: رنگ آمیزی ایمنوهیستوشیمیایی غده ی بزاقی طبیعی با پروتئین S-100 (بزرگنمایی ۱۰)



نگاره ی ۲) A: الگوی آسیب شناسی بافتی پلئومورفیک آدنوما در رنگ آمیزی با هماتوکسیلین- ائوزین (بزرگنمایی ۴۰)
B: رنگ آمیزی ایمنوهیستوشیمی پلئومورفیک آدنوما با پروتئین S-100 (بزرگنمایی ۲۰)

هیچگونه واکنش رنگ پذیری مثبت دیده نشد، به گونه ای، که ایمونورآکتیویته در این تومور منفی بود. مقاطع ماهیچه ها، سلول های چربی و سلول های آندوتلیال عروق آشکارا رنگ گرفته بودند. این امر، نشان از درستی رنگ آمیزی نمونه ها داشت. از آنجا که، هیچ یک از سلول های تومور رنگ نگرفته بودند، شاخص رده بندی در این آسیب صفر بود (نگاره ی ۳).

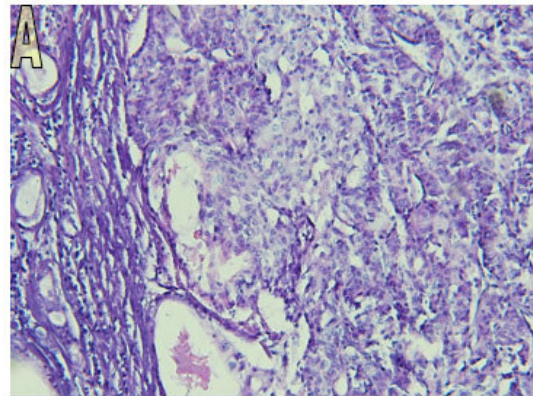
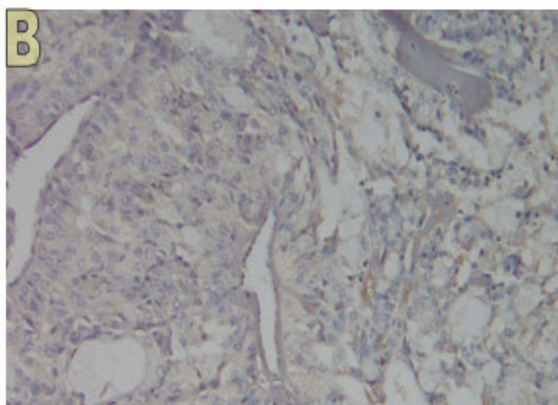
۳. سرطان آدنوئیدسیستیک: بررسی میکروسکوپی مقاطع رنگ شده با رنگ هماتوکسیلین- ائوزین نشان دهنده جزایر سلولی متشکل از سلول های بازالوئید با هسته ی هایپرکروم بود، که الگوی کلی غربالی را به خود گرفته بودند. این دسته سلولی با بافت هیالینیزه از هم جدا می شدند. در برخی مقاطع، تکه هایی از ماهیچه و بافت چربی مشاهده می شد. در بررسی ایمنوهیستوشیمیایی سلول های نئوپلاستیک،



نگاره ی ۳) A: الگوی آسیب شناسی بافتی سرطان آدنوئید سیستیک در رنگ آمیزی با هماتوکسیلین-ائوزین (بزرگنمایی ۲۰)
B: رنگ آمیزی ایمونوهیستوشیمی سرطان آدنوئید سیستیک با پروتئین S-100 (بزرگنمایی ۴۰)

این نمونه، سلول‌های موکوسی هیچگونه ایمونورآکتیویته‌ای نشان نمی‌دهند، در حالی که، تنها در دو نمونه، سیتوپلاسم شماری از سلول‌های اپی تلیالی ایمونورآکتیویته مثبت داشتند. از آنجا که، رنگ‌پذیری سلول‌ها کمتر از پنج درصد کل سلول‌های تشکیل دهنده ی تومور را شامل می‌شد، بنابراین ایمونورآکتیویته این تومور منفی در نظر گرفته شد (نگاره ی ۴).

۴. سرطان موکوپیدرموئید: بررسی مقاطع رنگ شده با هماتوکسیلین وائوزین نشان دهنده‌ی بودن سلول‌های اپیدرموئید، موکوسی و به ندرت حد واسط در این تومور بود. درجه‌ی تمایز همه‌ی نمونه‌ها خوب بود. افزون بر آن، در برخی مقاطع، قطعاتی از غده‌ی بزاقی فرعی و اپی تلیوم مخاط دهان مشاهده می‌شد. یافته‌های ایمونوهیستوشیمیایی در نمونه‌ی سرطان موکوپیدرموئید نشان داد، که در



نگاره ی ۴) A: الگوی آسیب شناسی بافتی سرطان موکوپیدرموئید در رنگ آمیزی با هماتوکسیلین-ائوزین (بزرگنمایی ۲۰)
B: رنگ آمیزی ایمونوهیستوشیمی سرطان موکوپیدرموئید با پروتئین S-100 (بزرگنمایی ۲۰)

بحث

یافته‌های بررسی کنونی بیانگر ایمونورآکتیویته‌ی منفی تومور سرطان آدنوئید سیستیک بود. از آنجا که، شمار سلول‌های مثبت در سرطان موکوپیدرموئید کمتر از پنج درصد بود، بنابراین ایمونورآکتیویته‌ی سرطان موکوپیدرموئید را نیز، می‌توان منفی در نظر گرفت. برعکس، رنگ‌پذیری مثبت سلول‌ها در پلئومورفیک آدنوما، نشان‌دهنده‌ی ایمونورآکتیویته مثبت این تومور بود. پروتئین S-100 یک پروتئین اسیدی با وزن مولکولی ۲۱۰۰۰ دالتون است، که نخستین بار از سلول‌های عصبی مرکزی و سیتوپلاسم سلول‌های گلیال و شوان، ملانوسیت‌ها، کندروسیت‌ها و آدیپوسیت‌ها، سلول‌های میوایی تلیال و تومورهای مشتق از آنها جدا شد^(۱۰).

سلول‌های میوایی تلیال، به عنوان جزو سلولی مهم در تومورهای غدد بزاقی و به ویژه پلئومورفیک آدنوما، مدت‌ها مورد توجه بوده‌اند. نقش این سلول‌ها در ایجاد تومورهای بزاقی متناقض است، به گونه‌ای، که برخی پژوهشگران تغییر نئوپلاستیک این سلول‌ها را در ایجاد پلئومورفیک آدنوما و میوایی تلیوما و تومور سلول‌های شفاف موثر می‌دانند^(۹). پلئومورفیک آدنوما، ظاهری دوگانه دارد و از بخش‌های اپی تلیالی و استرومای متغیر تشکیل می‌شود. بیشتر سلول‌های اپی تلیالی، ماهیتی داکتال یا اسکواموئید دارند، در حالی که، بخش استروما الگوی میکسوئید، کندروئید یا هیالینیزه به خود می‌گیرد. یافته‌های ساختاری و ملکولی این تومور بیانگر آن است، که اجزای مزانشیمی این تومور سرچشمه‌ای از سلول‌های اپی تلیالی داشته و در حقیقت، سلول‌های میوایی تلیال تغییر یافته هستند. یافته‌های فوق ساختاری، ویژگی‌های سیتوپلاسمی انتقالی از مشخصات اپی تلیالی به مزانشیمی را نشان داده است^(۱۰). یافته‌های این

بررسی نشان‌دهنده‌ی رنگ‌پذیری مثبت اجزای سلولی در پلئومورفیک آدنوما بود. این یافته با یافته‌های فروس (Furuse)، کان (Kahn)، کروکر (Crocker)، زاربو (Zarbo)، هیرانو (Hirano)، موری (Mori) و مارگارتسکو (Margaritescu) همخوانی داشت^(۸، ۹، ۱۱، ۱۲، ۱۳، ۱۴ و ۱۵). در بررسی ایشان، همانند بررسی کنونی، سلول‌های میوایی تلیال و سلول‌های موجود در نواحی کندروئید و میکسوئید و سلول‌های توموری، همانند مزانشیم مثبت گزارش شده‌اند. با وجود این یافته، گوپتا (Gupta) بروز پروتئین S-100 را در پلئومورفیک آدنوما منفی گزارش کرده است. این امر می‌تواند ناشی از آن باشد، که در بررسی ایشان، نمونه‌گیری به شیوه‌ی اسپیراسیون بوده و نمونه برداری انجام نگرفته است^(۷). افزون بر آن پونس براوو (Ponce Bravo) و همکاران نیز، سلول‌های میوایی تلیال را جزو سلولی اصلی در پلئومورفیک آدنوما نمی‌دانند. در بررسی ایشان، سلول‌های S-100 مثبت در غده‌ی بزاقی طبیعی پیرامون مجاری دیده شده است^(۱۶).

در بررسی کنونی، با وجود آن که، کمتر از پنج درصد سلول‌های موجود در سرطان موکوپیدرموئید مثبت بودند، اما بروز پروتئین S-100 در شماری ناچیز از سلول‌های اپی تلیالی، به‌طور پراکنده مشاهده می‌شد. این یافته با یافته‌های فروس، کان، زاربو، حسنین (Hassanin) و رجزی (Regezi) همخوانی دارد^(۸، ۹، ۱۲، ۱۷ و ۱۸). ایشان، ایمونورآکتیویته‌ی مثبت سلول‌های داکتال، میوایی تلیال و حد واسطرا گزارش کرده‌اند. سانچز-مورا (Sanchez-Mora) و همکاران، با استفاده از پانلی از شاخص‌های ایمونوهیستوشیمیایی، مانند S-100، به بررسی سرطان موکوپیدرموئید برونش پرداخته و با توجه به یافته‌های بررسی خویش، نتیجه‌گیری کرده‌اند، که یافته‌های فوق ساختاری و ایمونوهیستوشیمیایی نشان‌دهنده سرچشمه داکتال

اپی تلیال و میوایی تلیال تغییر یافته (MMC)^۱ در هیستوژن پلئومورفیک آدنوما نقش مستقیم دارند، در حالی که، این سلول‌ها در سرطان موکوپیدرومئید نقشی فعال در ایجاد تومور نداشته و تنها به همراه سلول‌های نئوپلاستیک به ناحیه‌ی تومورای وارد می‌شوند^(۹). نکته‌ی قابل توجه، رنگ‌پذیری مثبت سلول‌ها در نواحی میکسوئید و کندروئید پلئومورفیک آدنوما بود. این یافته، با دیدگاه‌های موجود، که ایجاد استرومای متغیر پلئومورفیک آدنوما را ناشی از بودن سلول‌های میوایی تلیال تغییر یافته می‌دانند، کاملاً همخوان است. اما نقش این سلول‌ها در ایجاد نواحی داکتال، هنوز ناشناخته مانده است، زیرا، تنها در شماری از سلول‌های داکتال، بروز مثبت پروتئین S-100 مشاهده شد. به هر رو، از آنجا که، در بیشتر موارد، تشخیص سلول‌های اپی تلیال و میوایی تلیال تغییر یافته در سطح میکروسکوپ نوری به خوبی امکان‌پذیر نیست، اثبات این امر به استفاده‌ی همزمان از شاخص‌هایی، همچون سایتوکراتین، اکتین، ویمنتین و اپی تلیال ممبران آنتی ژن^۲ نیاز دارد. بروز این پادکنی در سلول‌های نئوپلاستیک، که اثر گرفته از بودن سلول‌های آشکار کننده‌ی آنهاست، می‌تواند هیستوژن آسیب را برای ما مشخص کند. برای نمونه، بروز کراتین در سلول‌های اپی تلیالی با بروز ویمنتین و S-100 در سلول‌های میوایی تلیال و بروز کراتین، S-100 و کارسینومامبریونیک آنتی ژن در سلول‌های مجاری رابط، می‌تواند در شناخت ما از هیستوژن تومور غده‌ی بزاقی راهگشا باشد^(۱۰-۱۴). در حالی که، زاربو، موری، ناکازاتو (Nakazato)، چن (Chen)، آزومی (Azumi) و هوانگ (Huang) گزارش کرده‌اند، که نمونه‌های سرطان آدنوئید سیستیک در بررسی ایشان با درجاتی گوناگون

سلول‌های تشکیل دهنده‌ی سرطان موکوپیدرومئید و نبود سلول‌های میوایی تلیال است^(۱۹).

یوک (Yook) و همکاران نیز، بر این باور هستند، که تمایز سرطان موکوپیدرومئید بر روی تمایز سلول‌های اسکواموس متمرکز بوده و تمایز سلول‌های میوایی تلیال یا موکوسی بر پایه‌ی ویژگی‌های محیطی تنظیم می‌شود^(۲۰). فوشینی (Foschini) و همکاران نیز، فنوتیپ سلولی مجاری مخطط را مسوول ایجاد سرطان موکوپیدرومئید می‌دانند^(۲۱). به این ترتیب، به نظر می‌رسد، که نقش سلول‌های داکتال در ایجاد سرطان موکوپیدرومئید آشکارتر از سلول‌های میوایی تلیال باشد. با وجود یافته‌های همانند درباره‌ی پلئومورفیک آدنوما، که موجب شده است تا بیشتر پژوهشگران درباره‌ی سرچشمه گرفتن پلئومورفیک آدنوما از سلول‌های اپی تلیالی یا میوایی تلیالی تغییر یافته، هم آرا باشند، یافته‌های متناقض درباره‌ی سرطان موکوپیدرومئید، پیشنهاد هیستوژن این آسیب را با مشکل روبه‌رو می‌کند.

با وجود یافته‌های متناقض، استفاده از شاخص‌های ایمونوهیستوشیمیایی می‌تواند به پیشنهاد دیدگاه هیستوژن غدد بزاقی کمک کند. در این بررسی، با توجه به اهمیت پروتئین S-100 در نمایش سلول‌های میوایی تلیال از این شاخص استفاده شد. واکنش مثبت سلول‌های اپی تلیالی و میوایی تلیالی تغییر یافته در پلئومورفیک آدنوما نشان از بودن این سلول‌ها در بخش‌های نئوپلاستیک دارد. در حالی که، در سرطان موکوپیدرومئید، تنها شماری پراکنده از سلول‌های مثبت در بخش نئوپلاستیک مشاهده گردید. بروز شدیداً مثبت این شاخص در پلئومورفیک آدنوما و بروز بسیار اندک و پراکنده‌ی آن در سرطان موکوپیدرومئید (کمتر از پنج درصد)، که با بروز ندادن آن همخوانی دارد، به این شکل قابل توجیه است، که سلول‌های

^۱ MMC : Modified Myoepithelial Cells

^۲ Epithelial membrane antigen

مثبت است^(۱۲، ۱۴، ۲۲، ۲۳، ۲۴ و ۲۵). در بررسی کنونی، هیچ یک از نمونه‌های سرطان آدنوئیدسیستیک مثبت نبود. این یافته با نتایج به دست آمده از بررسی گان‌هان (Gunhan)، گوپتا و فروس همخوانی داشت^(۶، ۷). شاید یکی از علل این تفاوت در نتایج، ناشی از طراحی گوناگون بررسی‌ها باشد. با توجه به آن که در همین نمونه‌ها، مقاطع عصبی و پوشش آندوتلیال عروق با پادتن S-100 به خوبی رنگ گرفته بودند، بنابراین، نقش سلول‌های میوایی تلیال مورد پرسش خواهد بود. در این بررسی در شماری از تومورهای موکوپیدرموئید، مثبت شدن پراکنده‌ی سلول‌های حد واسط مشاهده گردید. با توجه به آن که، سلول‌های حد واسط را سرچشمه‌ی سلول‌های موکوسی و اپیدرموئید در سرطان موکوپیدرموئید می‌دانند، بنابراین، بررسی این سلول‌ها برای تشکیل هیستوژنز آنها ضروری می‌نماید. آیا این سلول‌ها سرچشمه‌ی داکتال دارند یا میوایی تلیال؟ آیا این سلول‌ها، همانند دیدگاه پیشین به همراه سلول‌های نئوپلاستیک مهاجرت کرده و به ناحیه‌ی توموری وارد می‌شوند یا این که، خود سرچشمه‌ی تشکیل سلول‌های تومورال در سرطان موکوپیدرموئید هستند؟ به هر رو، برخی بررسی‌ها نشان‌دهنده‌ی نقش سلول‌های داکتال در سرطان موکوپیدرموئید بوده است^(۲۰-۲۱). بررسی این دیدگاه به بررسی‌های فوق ساختاری و بررسی‌های تکمیلی

ایمنو هیستوشیمیایی نیاز دارد. با وجود نتایج متناقض، گردآوری داده‌ها نشان‌دهنده‌ی اهمیت بیشتر بروز پروتئین S-100 در پلئومورفیک آدنوما در مقایسه با سرطان موکوپیدرموئید و آدنوئیدسیستیک است.

نتیجه گیری

نتایج بررسی کنونی نشان‌دهنده‌ی بروز پروتئین S-100 در پلئومورفیک آدنوما بود. بروز این شاخص در سرطان آدنوئیدسیستیک و موکوپیدرموئید منفی بود. برپایه‌ی یافته‌های این بررسی، بودن سلول‌های میوایی تلیال در سرطان آدنوئیدسیستیک و موکوپیدرموئید به بررسی بیشتر نیاز دارد. پیشنهاد می‌شود، که بررسی‌های بعدی با به کارگیری همزمان شاخص‌های دیگر، همچون سیتوکراتین، اکتین، ویمنتین و اپی تلیال ممبران آنتی ژن انجام گیرد تا بودن سلول‌های اپی تلیال و میوایی تلیال در هیستوژنز تومورهای یاد شده بهتر مشخص گردد.

سپاسگزاری

از زحمات سرکار خانم دکتر سپیده اربابی، که رنگ آمیزی ایمنو هیستوشیمیایی این بررسی را پذیرفتند، سپاسگزاری می‌گردد.

References

1. Regezi JA, Scuibba JJ, Jordan RCK. Oral Pathology. 4th ed. St Louis: Saunders Co; 2003. p. 196-198, 203-207, 209-212.
2. Neville BW, Damm DD, Allen CM, Bouquot JE. Oral and Maxillofacial pathology. 2th ed. Philadelphia: W.B.Saunders Co; 2002. p. 406-413,420-423,426-428.
3. تن کیت آر. آوری. ج. بافت شناسی دهان و دندان (رشدونمو، ساختمان، اعمال). فریده اعتصام. ویرایش دوم. تهران: انتشارات نور دانش. ۱۳۸۴، صفحه های ۳۶۶-۳۶۸.
4. Dardick I. Salivary gland tumor pathology. New York, Tokyo: Igaku-Shoin; 1996: 75-89, 157-161, 172-177.
5. Nikai H, El-Bardie AM, Takata T, Ogawa I, Juhin N. Histologic evaluation of myoepithelial cell participation in salivary glang tumors. J Oral Maxillofac Surg 1986; 15: 597-605.
6. Gunhan O, Evren G, Demiriz M, Can C, Celasun B, Finci R. Expression of S-100 protein, epithelial membrane antigen, carcinoembryonic antigen and alpha fetoprotein in normal salivary glands and primary salivary gland tumors. J Nihon Univ Sch Dent 1992; 34: 240-248.
7. Gupta RK, Naran S, Dowle C, Simpson JC. Coexpression of Vimentin, Cytokeratin and S-100 in monomorphic adenoma of salivary gland: Value of marker studies in the differential diagnosis of salivary gland tumors. Cytopathology 1992; 3: 303-309.
8. Furuse C, Sousa SO, Nunes FD, Magalhaes MH, Araujo VC. Myoepithelial cell markers in salivary gland neoplasms. Int J Surg Pathol 2005; 13: 57-66.
9. Kahn HJ, Baumal R, Marks A, Dardick I, Nostrand P. Myoepithelial cells in salivary gland tumors. Arch Pathol Lab Med 1985; 109: 190-195.
10. Rosai J. Rosai and Ackerman. Surgical Pathology. Vol 1. 9th ed. Edinburgh: Mosby Co; 2004. p. 60, 889.
11. Crocker J, Jenkins R, Campbell J, Fuggle WJ, Shah VM. Immunohistochemical demonstraion of S-100 protein in salivary gland neoplasms. J Pathol 1985; 146: 115-121.
12. Zarbo RJ, Regezi JA, Batsakis JG. S-100 protein in salivary gland tumors: An immunohistochemical study of cases. Head Neck Surg 1986; 8: 268-275.
13. Hirano T, Kashiwado I, Suzuki I, Yoshihiro T, Yuge K, Asano G. Immunohistopathological properties of pleomorphic adenoma in salivary gland. Nippon Ika Daigaku Zasshi 1990; 57: 172-179.
14. Mori M, Yamada K, Tanaka T, Okada Y. Multiple expression of keratins, vimentin, and S-100 protein in pleomorphic salivary adenomas. Virchows Arch B Cell Pathol Incl Mol Pathol 1990; 58: 435-444.

15. Margaritescu C, Raica M, Simionescu C, Mogoanta L, Surpateanu M, Jaubert F, et al. Tumoral stroma of salivary pleomorphic adenoma- histopathological, histochemical and immunohistochemical study. *Rom J Morphol Embryol* 2005; 46: 211-223.
16. Ponce Bravo S, Ledesma Montes C, Lopez Baceril U, Morales Sanchez I. Myoepithelial cells are the main component in pleomorphic adenomas? *Med Oral Pathol Oral Cir Bucal* 2007; 12: 110 -115.
17. Hassanin MB, Ghosh L, Das AK, Waterhouse JP. Immunohistochemical and fluorescent microscopic study of histogenesis of salivary mucoepidermoid carcinoma. *J Oral Pathol Med* 1989; 18: 291-298.
18. Regezi JA, Zarbo RJ, Batsakis JG. Immunoprofile of mucoepidermoid carcinomas of minor salivary glands. *Oral Surg Oral Med Oral Pathol* 1991; 71: 189-192.
19. Sanchez- Mora N , Parra- Blanco V, Cebollero- Presmanes M, Carretero- Albinana L, Herranz ML, Alvarez- Fernandez E. Mucoepidermoid tumors of the bronchus. Ultrastructural and immunohistochemical study. Histogenic correlations. *Histol Histopathol* 2007; 22: 9-13.
20. Yook JL, Lee SA, Chun YC, Hub J, Cha IH, Kim J. The myoepithelial cell differentiation of mucoepidermoid carcinoma in a collagen gel- based coculture model. *J Oral Pathol Med* 2004; 33: 237-242.
21. Foschini MP, Marucci G, Eusebi V. Low-grade mucoepidermoid carcinoma of salivary glands: characteristic immunohistochemical profile and evidence of striated duct differentiation. *Virchows Arch* 2002; 440: 536-542.
22. Nakazato Y, Ishida Y, Takahashi K, Suzuki K. Immunohistochemical distribution of S-100 protein and glial fibrillary acidic protein in normal and neoplastic salivary glands. *Virchows Arch A Pathol Anat Histopathol* 1985; 405: 299-310.
23. Chen JC, Gnepp DR, Bedrossian CW. Adenoid cystic carcinoma of the salivary glands: An immunohistochemical analysis. *Oral Surg Oral Med Oral Pathol* 1988; 65: 316-326.
24. Azumi N, Battifora H. The cellular composition of adenoid cystic carcinoma. An immunohistochemical study. *Cancer* 1987; 60: 1589-1598.
25. Huang JW, Ming Z, Shrestha P, Mori M, Ilg E, Schafer BW, Heizmann CW. Immunohistochemical evaluation of the Ca(+2)-binding S-100 proteins S-100 A1, S-100 A2, S-100 A4, S-100A6 and S-100 B in salivary gland tumors. *J Oral Pathol Med* 1996; 25: 547-555.

Abstract

The Immunohistochemical Study of S-100 Protein in Salivary Gland Tumors: Pleomorphic Adenoma (PA), Adenoid Cystic Carcinoma (ACC) and Mucoepidermoid Carcinoma (MEC)**Jalayer Nadery N.* - Jamali Zavarehei M.** - Hashemi A.*****

* Assistant Professor Department of Oral and Maxillofacial Pathology, Faculty of Dentistry, Shahed University of Medical Sciences

** Professor Department of Pathology, Tehran University of Medical Sciences

*** Dentist

Statement of problem: Salivary gland tumors comprises a large group of oral cavity lesions. Ductal and myoepithelial cells are introduced as original cells in salivary gland tumors. The histogenesis of salivary gland tumors are controversial.

Purpose: With considering the role of s-100 protein in demonstration of myoepithelial cells, the purpose of this study was the determination of immunoreactivity pattern and distribution of myoepithelial cells in PA, ACC and MEC.

Materials and method: Formalin- fixed paraffin- embedded from 5 PAs, 5 ACCs and 5 MECs were studied immunohistochemically with employing S-100 protein. The S-100 protein positive cells were counted and mean score of Labeling Index (LI) were achieved. The immunoreactivity and staining pattern of each tumor were established. Lack of bleeding and necrosis was considered as inclusion criteria.

Result: 1) In PA: The plasmacytoid and some of ductal cells were stained positive (LI=0.34). The immunostaining reaction was moderate to severe.

2) In ACC: S-100 protein Immunoreactivity was negative (LI=0).

3) In MEC: The small numbers of epithelial cells were stained. Since, the stained epithelial cells was lesser than 5%, the MECs was considered negative.

Conclusion: Based on this study, the myoepithelial cells do not comprise the main cellular part in ACC and MEC.

Keywords: S-100- Pleomorphic adenoma- Adenoid cystic carcinoma- Mucoepidermoid carcinoma- Immunohistochemical study

Shiraz Univ. Dent. J. 2007; 7(3,4): 22-32
